

การสร้างแบบจำลองการเปลี่ยนแปลงอุณหภูมิน้ำเหล็กใน BOF โดยใช้นิวرونอลเน็ตเวิร์ก



นาย กิติศักดิ์ งามจรัสกุชกร

สถาบันวิทยบริการ
วิทยานิพนธ์นี้เป็นส่วนหนึ่งของการศึกษาตามหลักสูตรปริญญาวิศวกรรมศาสตรมหาบัณฑิต
ภาควิชาวิศวกรรมโยธา
สาขาวิชาวิศวกรรมโยธา
บัณฑิตวิทยาลัย จุฬาลงกรณ์มหาวิทยาลัย
ปีการศึกษา 2540
ISBN 974-637-670-5
ติดติที่ข่องบัณฑิตวิทยาลัย จุฬาลงกรณ์มหาวิทยาลัย

MODELING OF TEMPERATURE CHANGE OF LIQUID STEEL IN BOF BY NEURAL NETWORK

Mr. Kitisak Ngamjaruskochakorn

สถาบันวิทยบริการ
จุฬาลงกรณ์มหาวิทยาลัย

A Thesis Submitted in Partial Fulfillment of the Requirements
for the Degree of Master of Engineering
in Metallurgical Engineering
Department of Metallurgical Engineering
Graduate School
Chulalongkorn University
Academic Year 1997
ISBN 974-637-670-5

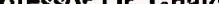
Thesis Title Modeling of Temperature Change of Liquid Steel in BOF by Neural Network
By Mr. Kitisak Ngamjaruskochakorn
Department Metallurgical Engineering
Thesis Advisor Associate Professor Dr. Chatchai SomSiri, Ph.D.
Thesis Co-Advisor Dr. Ittipon Diewwanit, Sc.D.

Accepted by the Graduate School, Chulalongkorn University in Partial Fulfillment of
the Requirements for the Master's Degree/

Supawat Chutivongse Dean of Graduate School
(Professor Supawat Chutivongse, M.D.)

Thesis Committee

..... Prasonk Sricharoenchai Chairman
(Assistant Professor Dr. Prasonk Sricharoenchai, D.Eng)

.......... Thesis Advisor
(Associate Professor Dr. Ghatchai Somsiri, Ph.D.)

[Signature] Thesis Co-Advisor
(Dr. Ittipon Dieawanit, Sc.D.)

..... Member
(Assistant Professor Charkorn Jarupisithorn, M.Eng)

กิตศักดิ์ งานชีวสังเคราะห์ : การสร้างแบบจำลองการเปลี่ยนแปลงอุณหภูมิใน BOF โดยใช้ นิวรอตเน็ตเวิร์ก (MODELING OF TEMPERATURE CHANGE OF LIQUID STEEL IN BOF BY NEURAL NETWORK) อ. ที่ปรึกษา: รศ.ดร. ฉัตรชัย สมศรี, อ. ที่ปรึกษาร่วม : อ.ดร. อิทธิพงษ์ เดียวพาณิชย์, 71 หน้า, ISBN 974-637-670-5

การวิจัยครั้งนี้มีวัตถุประสงค์เพื่อหารูปแบบขั้นตอนการเปลี่ยนแปลงอุณหภูมิใน BOF ซึ่งระหว่างเทน้ำเหล็กจากเตาถังถังรับน้ำเหล็กและเติมสารเพิ่มคุณภาพต่าง ๆ โดยใช้ นิวรอตเน็ตเวิร์ก นอก จากนี้จะศึกษาถึงผลของพารามิเตอร์ต่าง ๆ ในตัวนิวรอตเน็ตเวิร์กเอง และพารามิเตอร์ต่าง ๆ ในขบวนการ พฤติกรรมที่มีผลต่อการเปลี่ยนแปลงอุณหภูมิใน BOF ด้วย งานวิจัยนี้ใช้ข้อมูลจากการปฏิบัติงานจริงของโรงงาน พฤติกรรมเหล็กแห่งหนึ่งในประเทศไทยอย่างเป็นต้น

นิวรอตเน็ตเวิร์กสามารถสร้างรูปแบบขั้นตอนการเปลี่ยนแปลงอุณหภูมิใน BOF ได้ เป็นอย่างดี รูปแบบขั้นตอนนี้มีความผิดพลาดในการทำนายอุณหภูมน้ำเหล็กเพียง 7 องศาเซลเซียส นิวรอตเน็ต เวิร์กข้ามวนหลาย โครงสร้างถูกใช้ทดแทนเพื่อเรียนรู้แบบขั้นตอนนี้ โครงสร้างของนิวรอตเน็ตเวิร์กที่เหมาะสม กับแบบขั้นตอนนี้ประกอบด้วย [11,4,1] ค่าอัตราการเรียนรู้ (learning rate) และ โมเมนตัม (momentum) เท่ากับ 0.01 และ 0.5 ตามลำดับ นอกจากนี้แล้วนิวรอตเน็ตเวิร์กยังสามารถใช้หาผลกระบวนการของพารามิเตอร์ในขบวน การพฤติเดตตัวต่อการเปลี่ยนแปลงอุณหภูมิใน BOF ได้สอดคล้องกับการทำนายทางอุณหภูมิศาสตร์อิกค่าวัย ซึ่งตักษะความสัมพันธ์ของพารามิเตอร์แต่ละตัวกับการเปลี่ยนแปลงอุณหภูมิใน BOF นี้ถูกประเมินเป็นสีน้ำเงิน ปัจจัยในขบวนการพฤติเดตตัวต่อการเปลี่ยนแปลงอุณหภูมิใน BOF ที่สำคัญที่สุด คือ เวลาที่ใช้ในการเทน้ำเหล็กจากเตา BOF ลงถังรับน้ำเหล็ก ส่วนปัจจัยในขบวนการพฤติเดตตัวต่อการเปลี่ยนแปลงอุณหภูมิใน BOF น้อยที่สุด คือ ปริมาณน้ำเหล็กในเตา

คิมพ์ตันลับบานกรดถ่ายอวิทยานิพนธ์ภาษาไทยในกรอบสีเขียวที่ต้องการ

C818166 : MAJOR METALLURGY

KEY WORD: BOF's PROCESS / TEMPERATURE CHANGE / TAPPING TIME / ADDITIVE / FLUX / NEURAL NETWORK

KITISAK NGAMJARUSKOKHAKORN : MODELING OF TEMPERATURE CHANGE OF LIQUID STEEL IN BOF BY NEURAL NETWORK. THESIS ADVISOR : ASSOC. PROF. Dr. CHATCHAI SOMSIRI, Ph.D. THESIS CO-ADVISOR : Dr. ITTIPON DIEWWANIT, Sc.D.
71pp. ISBN 974-637-670-5

The objective of this study is to model temperature change of the liquid steel in BOF's process during tapping and adding some additives using neural network. Extent of influences of the network parameters and process variables are studied. The actual measured data from a steel plant are used as a reference.

The study shows that the neural network is capable of predicting the change of the liquid steel temperature during BOF operation and transferring of the liquid steel to the ladles. The forecast temperatures agree with the measured values. It was found that the optimized architecture of the neural network consists of 11 inputs, 4 hidden neurons and 1 output with learning rate and momentum of 0.01 and 0.5 respectively. The discrepancies of the forecast model to the real values were found to be $\pm 7^{\circ}\text{C}$. A model based on thermodynamic and heat balance was also developed and was found to correlate well with the forecast from the neural network. Both models illustrate linear dependency of the temperature on the metallurgical and process parameters. The main factor which causes the temperature drop of liquid steel is tapping time while the steel weight least affects the temperature drop.

สถาบันวิทยบริการ จุฬาลงกรณ์มหาวิทยาลัย

ภาควิชา...METALLURGICAL ENGINEERING

สาขาวิชา... METALLURGICAL ENGINEERING

ปีการศึกษา..... 1997

ลายมือชื่อนิสิต..... Kitisak Ngamjaruskokhakorn

ลายมือชื่ออาจารย์ที่ปรึกษา.....

ลายมือชื่ออาจารย์ที่ปรึกษาร่วม.....

ACKNOWLEDGEMENTS

The author would like to express his sincere gratitude to his advisor, Associate Professor Dr. Chatchai Somsiri and his co-advisor, Dr Ittipon Diewwanit. Acknowledgements are also extended to the other member of committee, Assistant Professor Chakorn Jarupisithorn and Assistant Professor Dr. Prasonk Sricharoenchai for guidance and supervision leading to the completion of this study.

The author wishes to thank Nakornthai Strip Mill Public Company Limited for financial support for this project. Special thanks to Dillinger Huette steel plant in Dillingen, Germany for providing data and MIT-Management Intelligenter Technologien GmbH in Aachen, Germany for assistance in training the neural network program. Finally thanks are due to Mr. Wikorm Vajragupta for his much help criticisms.

สถาบันวิทยบริการ
จุฬาลงกรณ์มหาวิทยาลัย

CONTENTS

| | page |
|---|-------------|
| Abstract (in Thai)..... | iv |
| Abstract (in English)..... | v |
| Acknowledgements..... | vi |
| Contents..... | iiiv |
| List of Tables..... | iiiv |
| List of Figures..... | ix |
| Chapter | |
| 1. Introduction..... | 1 |
| 2. Literature Survey..... | 4 |
| 3. Experimental Procedure..... | 33 |
| 4. Experimental Result and Discussion..... | 43 |
| 5. Conclusion..... | 57 |
| References..... | 58 |
| Appendices..... | 60 |
| Biography..... | 71 |

List of Tables

| Table | Page |
|--|------|
| 2.1 The Training and Testing Error for Different Architecture of 7 Input Network Model of Blast Furnace Burden Distribution..... | 15 |
| 2.2 The Predicted results by ANN..... | 17 |
| 2.3 The Results of Predicted Final Sulfur in Torpedo Ladle with Different Architecture Network..... | 19 |
| 2.4 Comparison of the Rolling Force Prediction Error both the Mathematics and Combined Model..... | 28 |
| | |
| 3.1 The Given Condition for Testing Input-Output Dependence..... | 34 |
| 3.2 The Various Architecture of Network for Finding the Best Model..... | 36 |
| 3.3 The Various of Learning rate and Momentum in Model..... | 37 |
| 4.1 The Error of the Different Network..... | 42 |

List of Figures

| Figure | Page |
|---|------|
| 2.1 A simple neural network..... | 6 |
| 2.2 Schematic Diagram of a single neuron..... | 6 |
| 2.3 A general multilayer neural network..... | 12 |
| 2.4 The result of temperature profile with neural network control..... | 13 |
| 2.5 The true values of β and predicted values by the [7,5,1] network..... | 15 |
| 2.6 The result of prediction of final sulfur content in blowing converter..... | 20 |
| 2.7 The predicted [%Mn]/(%Mn) by neural network and by experiment..... | 21 |
| 2.8 A comparison between NN-predicted (S)/[a_s] and experimental (s)/[a_s]..... | 22 |
| 2.9 Result of simulation test of breakout prediction in continuous casting process | 23 |
| 2.10 The predicted yield strength with addition of Nb and Ti..... | 25 |
| 2.11 The credibility setimate predicted yield strength by evaluation MLP..... | 25 |
| 2.12 Combined model of mathematical and neural network..... | 27 |
| 2.13 The comparison between the predicted M_s and the measured M_s | 30 |
| 2.14 The predicted M_s by Line Andrews Model..... | 30 |
| 2.15 The effect of alloying elements on the M_s | 31 |
| 3.1 Flowchart of training cycle in neural network..... | 36 |

| | | |
|------|--|----|
| 4.1 | Predicted and actual temperature change from the best model..... | 42 |
| 4.2 | The histogram of error..... | 43 |
| 4.3 | The effect of hidden neurons in the learning curve..... | 44 |
| 4.4 | The effect of learning rate on the learning behavior of network..... | 45 |
| 4.5 | The effect of momentum on the learning behavior of network..... | 46 |
| 4.6 | The effect of tapping time on temperature drop..... | 48 |
| 4.7 | The effect of steel weight on temperature drop..... | 48 |
| 4.8 | The effect of calcium oxide on the temperature change of liquid steel..... | 50 |
| 4.9 | The effect of ferrochromium on the temperature change of liquid steel..... | 51 |
| 4.10 | The effect of manganese on the temperature change of liquid steel..... | 51 |
| 4.11 | The effect of carbon on the temperature change of liquid steel..... | 52 |
| 4.12 | The effect of aluminium on the temperature change of liquid steel..... | 52 |

สถาบันวิทยบริการ
จุฬาลงกรณ์มหาวิทยาลัย